

МІНІСТЕРСТВО ОСВІТИ І НАУКИ УКРАЇНИ  
ОДЕСЬКИЙ ДЕРЖАВНИЙ ЕКОЛОГІЧНИЙ УНІВЕРСИТЕТ

МЕТОДИЧНІ ВКАЗІВКИ

з виконання курсового проекту  
з дисципліни  
**«Моделювання та прогнозування стану довкілля» (водне середовище)**

для бакалаврів 3 року навчання  
спеціальності 101 «Екологія»

Затверджено  
на засіданні групи забезпечення спеціальності  
101 «Екологія»  
Протокол № 7 від «24» 04 2024 р.  
Голова групи Чугай А.В.

Затверджено  
на засіданні кафедри екології  
та охорони довкілля  
Протокол № 7 від «24» квітня 2024 р.  
Завідувач кафедри Чугай А.В.

Одеса 2024

МІНІСТЕРСТВО ОСВІТИ І НАУКИ УКРАЇНИ  
ОДЕСЬКИЙ ДЕРЖАВНИЙ ЕКОЛОГІЧНИЙ УНІВЕРСИТЕТ

МЕТОДИЧНІ ВКАЗІВКИ

з виконання курсового проекту  
з дисципліни  
**«Моделювання та прогнозування стану довкілля» (водне середовище)**

для бакалаврів 3 року навчання  
спеціальності 101 «Екологія»

Затверджено на засіданні групи  
забезпечення спеціальності  
101 «Екологія»  
Протокол № 7  
від «24 04 2024р.

Одеса – 2024

Методичні вказівки з виконання курсового проекту з дисципліни «Моделювання та прогнозування стану довкілля» (водне середовище) для бакалаврів 3 року навчання спеціальності 101 «Екологія» / Романчук М.Є. Одеса, ОДЕКУ, 2024. 35с.

## ЗМІСТ

ВСТУП .....	4
<b>1 АСПЕКТИ ЕКОЛОГІЧНОГО ВПЛИВУ НА МОРСЬКЕ СЕРЕДОВИЩЕ ТА ІМОВІРНІСТЬ РОЗЛИВІВ НАФТИ .....</b>	<b>7</b>
1.1 Характеристика та походження нафти.....	7
1.2 Джерела нафтового забруднення та приклади найбільших аварій .....	8
1.3 Методи попередження забруднення нафтою водного середовища....	11
1.4 Поведінка розлитої нафти у морі.....	11
1.5 Негативний вплив розливів нафти .....	13
1.5.1 Вплив на берегову смугу .....	13
1.5.2 Вплив на біологічне суспільство .....	13
1.6 Аварійні розливи і їх імовірність .....	14
1.7 Методи боротьби з нафтовим забрудненням води .....	16
<b>2 ТЕОРЕТИЧНІ ПЕРЕДУМОВИ РОЗРАХУНКУ ДИФУЗІЇ НАФТИ У МОРІ .....</b>	<b>18</b>
2.1. Вивід диференційного рівняння .....	18
2.2. Розв'язання диференційного рівняння .....	20
2.3. Вихідні дані та послідовність розрахунку .....	22
<b>3 ПРИКЛАД РОЗРАХУНКУ І ЗАВДАННЯ ДЛЯ ВИКОНАННЯ КУРСОВОГО ПРОЕКТУ .....</b>	<b>26</b>
3.1. Приклад розрахунку .....	26
3.2. Завдання для виконання курсового проекту .....	31
<b>ЛІТЕРАТУРА .....</b>	<b>33</b>
<b>ДОДАТОК А.....</b>	<b>34</b>

## **ВСТУП**

Дисципліна «Моделювання і прогнозування стану довкілля» викладається при підготовки бакалаврів 3 року навчання за спеціальністю 101 «Екологія».

Метою дисципліни “Моделювання і прогнозування стану довкілля” є формування у студентів теоретичних знань та практичних навичок у галузі математичного моделювання реальних процесів розповсюдження забруднювальних речовин у довкіллі. Отримані знання та навички необхідні для роботи у державних та відомчих виробничих підрозділах, що здійснюють контроль стану навколошнього природного середовища, а також у науково-дослідних установах, які займаються проблемами охорони довкілля.

*Завдання дисципліни* – вивчення механізму забруднення навколошнього середовища, транспортування, міграції та перетворення забруднювальних речовин; опанування узагальнених моделей щодо якості атмосферного повітря, води, ґрутового та рослинного покривів; засвоєння методик прогнозів забруднення довкілля; стосовно водного середовища - засвоєння узагальнених моделей якості води.

Вивчення дисципліни базується на знаннях, отриманих з дисциплін «Вища математика», «Техноекологія». У подальшому ці знання будуть використовуватись при вивченні таких дисциплін, як «Екологічна оцінка ППП», «Нормування антропогенного навантаження на ПС».

Дисципліна складається з трьох блоків: атмосфера, вода, ґрунти.

Формою організації вивчення курсу є лекції та практичні заняття, а також самостійна робота. Формою контролю засвоєння знань є курсовий проект, модульна робота на практичних заняттях та відповіді-захисти інших практичних занять, модульні роботи з лекційного матеріалу та іспит.

Студенти можуть *обрати на вибір один з двох типових курсових проектів*: з блоку I, присвяченого забрудненню атмосфери, за темою «Синоптико-статистичний прогноз забруднення атмосфери методом лінійної регресії» (м.Одеса, домішка, сезон, рік)» або, присвяченого вивченю водного середовища (блок II).

Типовий курсовий проект за темою “Оцінка розповсюдження нафти в морі при її аварійних розливах ” виконується на основі засвоєння теоретичного матеріалу [1–3], що стосується вивчення водного середовища та його можливого забруднення. В роботі повинна міститись необхідна інформація щодо проблеми нафтового забруднення (можна на прикладі перевалки нафти на одноточечному рейдовому причалі SALM), розрахунку його розповсюдження та засоби щодо ліквідації наслідків. Курсовий проект складається з трьох частин: перша – теоретична, друга – розрахункова, третя – аналітична.

В результаті виконання даної роботи студенти повинні *знати*: можливі сценарії нафтових розливів, імовірність аварійних ситуацій при транспортуванні та перевантаженні нафти, етапи її деградації у морі, її вплив на довкілля та гідробіонтів, процеси трансформації нафтової плями у різні моменти часу, методи захисту водної поверхні при потраплянні нафти, а також *вміти* розраховувати значення концентрації нафти і розміри зони забруднення

у різні моменти часу відповідно процесів трансформації нафтової плями.

Оцінювання курсового проекту виконується таким чином:

усього за курсовий проект – максимум 30 балів; з них: оформлення та правильність виконання розрахунків – 18 балів (60%); захист – 12 балів (40%).

Курсовий проект виконується на 6-10 тижні вивчення дисципліни “Моделювання та прогнозування стану довкілля”, тобто, коли проходять заняття з вивчення стану водного середовища (ІІ блок). Захист відбувається через два тижні після закінчення даного блоку.

# 1 АСПЕКТИ ЕКОЛОГІЧНОГО ВПЛИВУ НА МОРСЬКЕ СЕРЕДОВИЩЕ ТА ІМОВІРНІСТЬ РОЗЛИВІВ НАФТИ

## 1.1 Характеристика та походження нафти

Нафта відома людству з найдавніших часів. ЇЇ почали добувати на березі Євфрату за 6-4 тис. років до нашої ери. Застосовувалася вона і як ліки. Стародавні єгиптяни використовували асфальт (окиснену нафту) для бальзамування. Нафтові бітуми використовувалися для приготування будівельних розчинів. Нафта входила до складу «грецького вогню».

В Україні нафта була виявлена в копаних колодязях та грязьових вулканах на Керченському півострові ще в III ст. до н.е., а в XVIII ст. в Галичині було відомо про “скельну олію”, тобто нафту [4].

Свою назву нафта дістала від індійського слова “нафата” (просмоктуча, втікаюча). Слово (petroleum) – нафта, зазвичай вживається для позначення типів сирої нафти і великої кількості продуктів її переробки.

Нафта - це в'язка, горюча і масляниста рідина від темно-бурого до світложовтого кольору з характерним запахом.

Численними хімічними аналізами встановлено, що нафта складається головним чином з вуглецю і водню – відповідно 79,5–87,5 і 11,0–14,5% від маси (рис. 1.1). Окрім них, у нафтах присутні ще три елементи – сірка, кисень і азот. Їх загальна кількість звичайно складає 0,5–8%. У дуже незначних концентраціях в нафтах зустрічаються метали – ванадій, нікель, залізо, алюміній, мідь, магній, барій, стронцій, марганець, хром, кобальт, молібден, калій, натрій, цинк, кальцій, срібло, галій та ін., а також бор, миш'як, йод. Загальний склад металів у нафті рідко перевищує 0,02–0,03% від її маси.

Вказані елементи утворюють різноманітні класи хімічних сполук, з яких і складаються нафти.

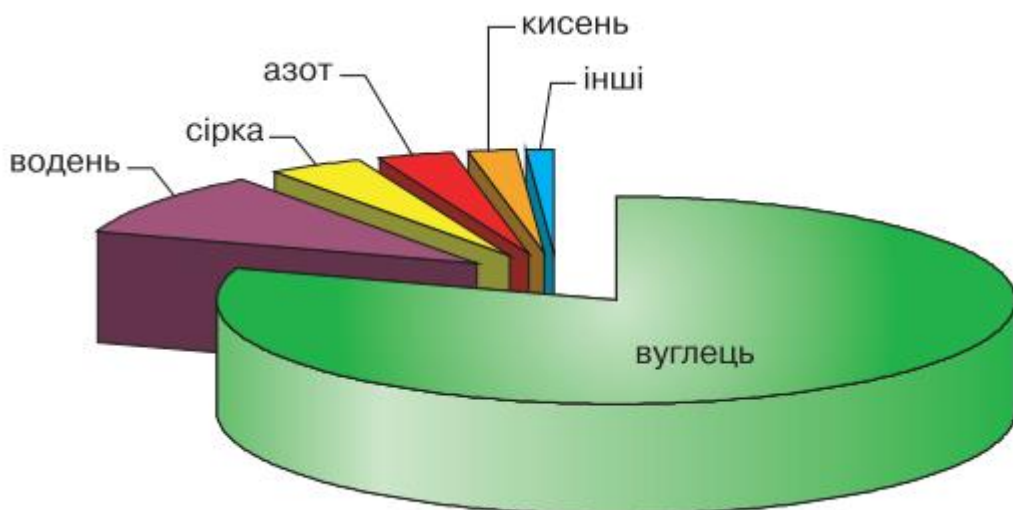


Рисунок 1.1 - Хімічний склад нафти

Нині існує три гіпотези походження нафти:

Найсучаснішою і найпоширенішою є гіпотеза органічного (біогенного) походження, згідно з якою нафта утворилася з останків тварин та рослин, які накопичилися в осадових породах морів та океанів. Опинившись у надрах землі, вони протягом мільйонів років зазнавали складних хімічних змін за умов високих температур і тиску з наявністю різних природних каталізаторів. У результаті в глибинних шарах земної кори створилися первинні, а потім вторинні родовища нафти, тобто зони заповнення, звідки вона й видобувається в наш час.

Є прихильники гіпотези неорганічного (абіогенного) походження нафти: нафта утворилась із карбідів та водяного пару в умовах глибинних процесів, які відбуваються в земній корі під впливом високих тисків і температур.

В питанні про походження нафти є прихильники й комплексного підходу. Вони вважають, що могли існувати обидва механізми утворення нафти (органічний і неорганічний), певною мірою доповнюючи один одного або діючи на різних стадіях процесу.

## 1.2 Джерела нафтового забруднення та приклади найбільших аварій

Джерел надходження нафти в моря і океани досить багато – це аварії танкерів і бурових платформ, скид баластних і очисних вод, винос з річковим стоком, промивання цистерн танкерів і скид цих вод, скиди нафтохімічних заводів. Втрати відбуваються навіть за безаварійної роботи морського транспорту.

У незабруднених нафтопродуктами водних об'єктах концентрація природних вуглеводнів може коливатися: у морських водах – від 0,01 до 0,10 мг/дм<sup>3</sup> і вище, в річках і озерах – від 0,10 до 0,2 мг/дм<sup>3</sup>, іноді сягає 1,–1,5 мг/дм<sup>3</sup>. Вміст природних вуглеводнів визначається трофістю водного об'єкта і значною мірою залежить від біологічної ситуації в ньому (розвиток і розпад фітопланкtonу, інтенсивність діяльності бактерій тощо). Характер розподілу нафтопродуктів і природних вуглеводнів по вертикальній акваторії водного об'єкта дуже складний і непостійний. Зазвичай найбільш забруднені прибережні зони. Підвищені концентрації спостерігаються в поверхневому та придонних шарах, іноді на окремих ділянках всередині водної товщі [5].

За підрахунками Національної Дослідницької Ради США щорічно у воду потрапляє майже 1,5 млн. м<sup>3</sup> нафти і нафтопродуктів, близько 45% витоків мають природні причини (наприклад, нафта з підводних пластів, що мимовільно виливається в море). Приблизно 5% нафти потрапляє в моря, океани і озера в результаті процесу видобутку і переробки. На транспортні аварії (танкери, нафтопроводи тощо) припадає 22% подібних розливів. Решта нафти потрапляє у воду в результаті сотень і тисяч дрібних аварій і витоків, які часто не помічають. Їх причиною може бути, наприклад, нещільний бензобак на катері або очисні споруди, що неадекватно працюють. Майже 30 відсотків нафтопродуктів у моря приносять річкові води, які містять нафту в усьому різноманітті її форм, а поверхня Світового океану була вкрита нафтовою

плівкою ще 40 років тому [6]. Велика кількість нафти та нафтопродуктів потрапляє у природні води при перевезенні їх водним шляхом (головним чином танкерами, нафтоналивними баржами й ін. суднами). Спочатку баластні води танкерів скидали в море, що призводило до значного забруднення акваторій портів. Від 1980 діє Міжнародна конвенція з запобігання забруднення моря нафтою, що передбачає заборону зливання таких вод і нафтових залишків з танкерів всією акваторією Світого океану. Однак з різних причин (злочинна недбалість, аварії тощо) щороку в Світ. океан потрапляє понад 10 млн т нафти [5].

Перша катастрофа, яка отримала розголос у всьому світі, сталася в 1967 р. Біля берегів Західної Європи зазнав аварії супертанкер «Торрі Каньйон», в море потрапило 120 тис. т нафти. Величезна нафтова пляма спотворила прибережні води і берега Франції та Англії. Загинуло приблизно 50 тис. водоплавних птахів, що склало 90% птахів цих районів.

У 1978 році танкер «Amoco Cadiz» сів на мілину неподалік від узбережжя Бретані (Франція). З-за штормової погоди рятувальну операцію провести було неможливо. Корпус танкера розколовся, і в море витекло понад 230 тис. т нафти. На той момент ця аварія була найбільшою екологічною катастрофою в історії Європи. Підраховано, що загинули 20 тис. птахів. У рятувальних роботах брали участь понад 7 тис. осіб.

Сумний рекорд по забрудненню морських вод у ХХ столітті належить нафтовій свердловині «Ixtoc-1» (Мексика), пробуреної біля берегів півострова Юкатан в Мексиканській затокі. Аварія сталася в червні 1979 р. Щодня в акваторію виливалося більше 4 тис. т нафти. Свердловина фонтанувала більше місяця. В результаті, в Мексиканську затоку вилилося до 460 тис. т сирої нафти. Ліквідація наслідків аварії зайняла майже рік. Вперше в історії були організовані спеціальні рейси з евакуації морських черепах із зони лиха.

Значні нафтові забруднення океану можуть бути спричинені внаслідок військових дій. Наприклад, великі виливи нафти відбувалися під час військових сутичок між Великою Британією та Аргентиною в районі Фолклендських островів (1980-і рр.) та між Іраком і Іраном у Перській затоці (1990). В останньому випадку протягом воєнних дій було серйозно пошкоджено 156 танкерів, унаслідок чого відбувся значний вилив нафти (до 1,5 млн т нафти – різні джерела наводять різні дані – вилилося в Перську затоку, нафта вкрила приблизно 1000 км<sup>2</sup> поверхні затоки та забруднила близько 600 км узбережжя) [7].

Розлив нафти в Мексиканській затоці, що стався 20 квітня 2010 року в результаті аварії на буровій платформі Deepwater Horizon, загрожує обернутися най масштабнішою екологічною катастрофою за всю історію США.

Нафтова пляма окружністю 965 км наблизилася на відстань приблизно 34 км до узбережжя штату Луїзіана. Аварійні служби США почали процес випалювання нафтової плями. За оцінками спеціалістів, у Мексиканську затоку виливалося близько 700 т нафти щодоби. У товщі вод Мексиканської затоки

знайдено плями нафти – одна пляма довжиною 16 км і товщиною 90 м на глибині 1300 м [7].

Міністерство юстиції США подало цивільний позов проти дев'яти компаній, включаючи ВР. У позові не вказується сума компенсацій, на якій наполягає влада, однак, за оцінками, мова може йти про десятки мільярдів доларів. Законодавство США передбачає, що виплати за витік одного бареля нафти можуть становити, залежно від обставин, від \$ 1100 до \$ 4300.

За офіційними даними, у затоку витекло 4,9 млн. тон нафти, а пляма досягла 100 000 кв. км, знищуючи все живе на своєму шляху.

Головні місця нафтового забруднення Світового океану відмічаються на шляхах руху танкерів між Близьким Сходом та Європою, Америкою та Японією. Значні забруднення наявні також у Середземному, Карибському, Південно-Китайському та Японському морях [7].

Сумна історія відбулась 22 листопада 2019 року, коли біля берегів Одеси (район пляжу "Дельфін") затонув танкер Delfi (рис.1.2).

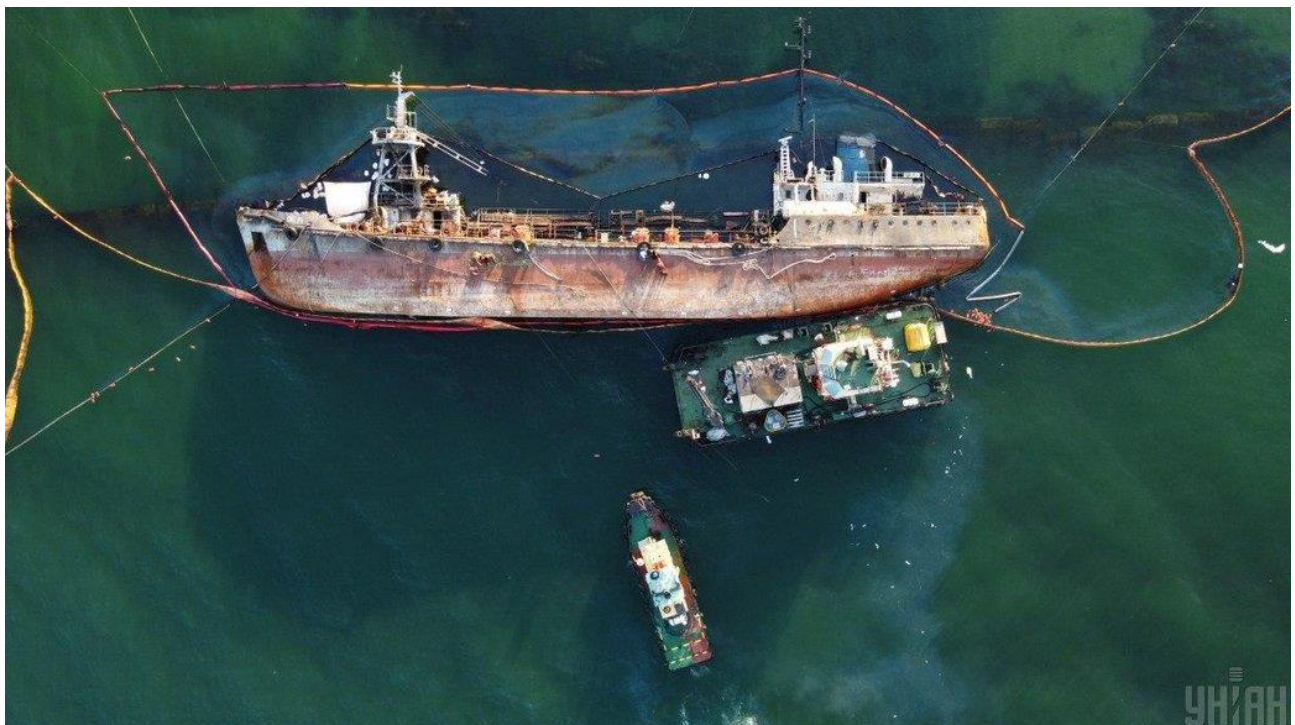


Рисунок 1.2 - Рік після краху танкуру Delfi

22 листопада через штурм в Одеській затоці зірвало з якоря танкер Delfi, порт приписки якого — Румунія, а судновласник — із Сполученого Королівства. Екологи зафіксували 25 листопада 2019 року перевищення норми забруднення моря нафтопродуктами в 19 разів в районі танкера Delfi.

Максимальне забруднення було зафіковано в ніч з 22 на 23 листопада, перевищення гранично допустимої концентрації тоді було перевищено в 157 разів. 22 червня пляма з затонулого танкера Delfi вкрила до 400 квадратних метрів води.

Загальна сума збитків, завдана витіканням забруднюючих речовин з

танкера Delfi, склала 16,3 тисячі доларів, що у гривнях — приблизно 453 тисячі.

Загалом евакуація танкера Delfi обійшлася у понад 500 тисяч доларів та перевищила суму, вказану у контракті. Кошти на транспортування судна виділили приватні компанії. Підіймали танкер на протязі 9 місяців. За цей час він перетворився у металобрухт.

30 вересня голова Держекоінспекції України повідомив, що власнику танкера Delfi нарахували 16 тисяч доларів збитків за завдану довкіллю шкоду. Цього не вистачить, аби компенсувати завдану екології шкоду [8].

### **1.3 Методи попередження забруднення нафтою водного середовища**

Із метою попередження забруднення моря нафтою, перш за все, необхідно вдосконалювати технологічні процеси добування, транспортування, зберігання, переробки, застосування нафти чи нафтопродуктів, виключити скид стічних вод, до складу яких входить нафта. Адже щорічно в результаті технологічної діяльності утворюються десятки мільярдів кубометрів водонафтових емульсій. Способи їх очистки від нафти дорогі та малоекективні, тому стічні води, що містять нафту, є джерелом глобального забруднення нафтою гідросфери, поставляючи у Світовий океан близько 75 % нафтових забруднень.

Охорона морського середовища повинна здійснюватися комплексним шляхом, створюючи при цьому нові технологічні процеси, методи та засоби попередження забруднень, а також створення нормативно правової бази щодо обмеження викиду нафти та нафтопродуктів у море [7].

### **1.4 Поведінка розлитої нафти у морі**

**Гравітаційне розтікання, турбулентна дифузія, адвективний перенос.** Щільність вуглеводнів нижче щільності води і, тому, спостерігається стійка тенденція до утворення нафтової плями на поверхні води. Вилита нафта швидко розповсюджується по поверхні води. Швидкість розповсюдження плями і товщина плівки залежать від температури морської води і складу нафти.

Розлита у море нафта розповсюджується на поверхні води під дією трьох процесів: гравітаційне розтікання, турбулентна дифузія і адвективний перенос.

Збільшення розмірів плями нафти одразу ж після розливу відбувається переважно за рахунок гравітаційного розтікання. Інтенсивність цього процесу з часом швидко зменшується із-за зменшення товщини нафтової плями і збільшення в'язкості нафти в результаті випаровування її легких фракцій. В деякий момент часу розтікання повністю припиняється, і подальша деформація плями є наслідком турбулентної дифузії. Агентство США з охорони навколошнього середовища так чином описує ефект розливу нафти: через 10 хвилин після потрапляння у воду 1 т нафти утворюється нафтова пляма товщиною 10 мм. У подальшому товщина плівки зменшується (до менше ніж 1 мм), однак пляма розширюється – 1 т нафти здатна вкрити площеу до 12 км<sup>2</sup>[7].

Таким чином, процес розповсюдження нафти у море можна умовно розділити на два етапи: 1 – розтікання і адвекція, 2 – турбулентна дифузія і адвекція [1-3].

Зазвичай пляма дрейфує під впливом вітру, розпадаючись на дрібніші плями. Нафта плівка змінює склад спектру та інтенсивність проникнення у воду світла. Пропускання світла тонкими плівками сирої нафти складає від 10–11 % (280 нм) до 60–70 % (400 нм). Плівка товщиною 30–40 нм повністю поглинає інфрачервоне випромінювання. Змішуючись з водою, нафта утворює емульсію двох типів: пряму нафту у воді та зворотну воду у нафті. Прямі емульсії, що складені краплинами нафти діаметром до 0,5 мкм, менш стійкі та характерні для нафти, що містить поверхнево-активні речовини. При утворенні летких фракцій нафта утворює в'язкі зворотні емульсії, які можуть зберігатися на поверхні, переноситися течією, викидатися на берег чи осідати на дно [7].

**Випаровування.** Сира нафта – це суміш різних вуглеводнів, з великим процентним вмістом летких речовин. Звичайно, основна кількість ароматичних речовин (до C<sub>9</sub>) і н-алканів (до C<sub>11</sub>) випаровується у перші 10 годин.

**Розчинення.** Деякі з більш легких летких фракцій, що розчиняються у морській воді, можуть переходити в розчин. Цей факт слід приймати до уваги під час перших декількох хвилин розливу, а потім вже вступає в дію фактор випаровування.

**Дисперсія.** Дисперсія – це утворення крапель нафти у воді, під дією хвиль і вітру. Для видалення нафтової плями слід приймати до уваги, що в перші 24 години дисперсія має вертикальний характер, а впродовж місяця – горизонтальний.

**Емульгування.** Після видалення основного об'єму летких речовин шляхом розчинення і випаровування може відбутись емульсифікація нафти. Такі емульсії представляють собою густу рідину і містять до 80% води. Найкраще прийняти заходи до утворення емульсії, оскільки цей процес викликає збільшення об'єму і щільноті матеріалу, який обробляється.

Процес емульсифікації починається приблизно через годину після розливу, але набуває значимих параметрів через 12–24 години і потім продовжується приблизно тиждень.

**Осадження.** Після того, як леткі речовини випарилися, а нафта эмульсифікувалась, починається процес осадження. Цей процес найбільш характерний для прибережних районів. Осадження може початися приблизно через годину після розливу, але значиму інтенсивність воно набуває через 24 години і потім продовжується приблизно тиждень.

**Біорозкладання.** Біологічне розкладання рідких вуглеводнів в довкіллі є найбільш важливим процесом. Процес стає інтенсивним через тиждень після розливу і триває впродовж довгого часу. Біорозкладання може відбуватись у будь-яких умовах навколошнього середовища (берегова смуга, поверхня води, по всій глибині води і в донних відкладеннях). Процес посилюється в теплій воді і при наявності поживних речовин [1-3].

## **1.5 Негативний вплив розливів нафти**

### **1.5.1 Вплив на берегову смугу**

В тому випадку, коли нафта потрапляє на берегову смугу, яка знаходиться в зоні сильного прибою, то розлита нафта швидко зникає з берега під впливом хвиль і внаслідок перемішування води. Це не може розглядатися як сприятливий фактор, тому що нафта переноситься на інші берегові ділянки і наносить збитки в іншому місці. Триваліше всього розлита нафта зберігається на максимальні високих і низьких урізах води і укритих щілинах, тобто там, де енергія хвиль мінімальна. В залежності від характеру і віку розлитої нафти, можуть загинути означені види тварин і найбільш чутливі червоні і зелені водорості. Більша частина нафти, яка сягає берега, представляє собою сиру нафту або бункерне паливо, яке вже деякий час знаходилось у морі і втратило більшу частину своїх токсичних речовин.

Але нафта, яка вивітрилась наносить збитки внаслідок своїх фізичних властивостей. Багато водоростей виділяють муцини, що запобігає прилипанню нафти до них, але якщо нафта налипає на талом, водорості можуть бути відірвані зі стебла під час шторму, внаслідок збільшення їх ваги. Великі скопища викинутої на берег нафти може привести до задушення тварин, тим самим викликаючи далі екологічний дисбаланс. Найбільш добре освітлений в публікаціях вплив такого типу було знешкодження домінантних організмів, які споживають водорості, що мало своїми наслідками зрист шару водоростей. Відновлення першого суспільства затримується у зв'язку з зникненням домінантного виду організмів, виникненням шару водоростей в період відсутності личинок тварин, які колонізують цей район, а потім – наявністю густого шару водоростей, інгибуючого колонізацію ділянки даним видом тварин в наступному сезоні. Вплив подібної дії може тривати роками.

Менш серйозні пошкодження, або ж збитки, нанесені у той час, коли популяція організмів, які споживають водорості, може бути відновлена до появи дуже густого шару водоростей, усуваються набагато швидше.

Викинута на берег нафта важко видаляється з берегових ділянок, які знаходяться під впливом слабкого прибою і складених осадочними породами. В тому випадку, якщо нафта все ще має властивості рідини, вона уходить в підґрунтovий шар. Там низький вміст кисню не сприяє бактеріальному розкладанню нафти, яка внаслідок цього може зберігати свої токсичні властивості довгий час. Крім негайногого шкідливого впливу на фауну, постійна наявність токсичних речовин заважає виникненню відновлюваних процесів, а нафта, вилуговуючись пізніше з осадочних порід, може викликати нове забруднення.

### **1.5.2 Вплив на біологічне суспільство**

Планктон і, особливо, нейстон (організми поверхневої плівки води), які мешкають в декількох верхніх сантиметрах моря, зазнають найбільшого

ризику, тому що на нього відбувається вплив самих концентрованих водорозчинних речовин, які вилуджуються з нафтової плями.

Нафта і її фракції токсичні для широкого кола організмів, які складають планктон, причому ароматичні речовини більш токсичні, ніж вуглеводні аліфатичного ряду. Нафта, яка вивітрилась, після втрати летких і водорозчинних компонентів не дуже токсична і є спостереження відносно поїдання веслоногими часток і, які проходили по їх шлунково-кишковому тракту, не завдаючи шкоди.

Вивчення відповідної реакції планктонного суспільства на розлив нафти в природних умовах дало суперечні результати, але не підтвердило прогнозів, зроблених внаслідок лабораторних експериментів.

Хоч не може бути сумнівів в тому, що забруднення нафтою, в тому випадку, якщо воно достатньо серйозне вбиває на планктонні організми, до сих пір не виявлено інших впливів, ніж часові. Яких би збитків не завдавалось, організми відновлюються після цього, або шляхом відновлення їх зросту, або внаслідок їх проникнення в неторкані впливом області. Так як нафтові вуглеводні розкладаються під дією дріжджів і бактерій, то в основному вони служать джерелом харчування.

Морські птахи отримують негативний вплив у зв'язку з фізичними характеристиками нафти, яка плаває по поверхні, а не з її токсичністю (рис.1.3). В тому випадку коли рідка нафта (або будь-яка поверхнево-активна речовина) забруднить пір'я птахів, то воно втрачає свої водовідштовхуючі властивості. Якщо птаха при цьому залишається на морі, вода проникає в пір'я і витісняє повітря, яке знаходиться між пір'ям і шкірою. Птахи можуть втратити плавучість і утонути, або піддатися гіпотермії і загинути. Птахи намагаються очистити своє пір'я, при цьому вони заковтують велику кількість нафти, яка потім може викликати захворіння кишечника, нирок і серця.

Навіть незначна кількість нафти, засвоєна птахами, пригнічує процеси кладення яєць, а серед відкладених яєць зменшується кількість тих, з яких благополучно вилупляється пташенята. Якщо ж нафта попаде з пір'я птаха на яйця, то ембріон може загинути.

В цілому, непряма дія нафти на розмноження здається набагато менш значною, ніж пряма смертність серед дорослих птахів, і в північній півкулі увагу було сконцентровано саме на цій проблемі. Значного впливу зазнають види, які пірнають, такими є птахи сімейства чистикових (різні види гагарок) і деякі пірнаючі морські вутки.

## 1.6 Аварійні розливи і їх імовірність

Імовірність аварійних розливів нафти встановлюється за їх можливими сценаріями, які розробляються для кожного виду операцій, пов'язаних з обробкою танкерів:

- прибуття танкеру;
- швартовка, підключення до причалу, роз'єднання;
- розвантаження нафти;

- вихід з ладу системи.

**Прибуття танкеру.** Ця операція включає прибуття танкеру на якірну стоянку або місце розташування причалу. Прибуття танкеру пов'язане з небезпекою зіткнення танкеру із малим судном. Прогнозована імовірність зіткнення танкеру із малим судном – раз у 20 років, і втрати нафти при цьому будуть дорівнювати нулю. Однак, зіткнення танкеру з великим судном або зі стаціонарним об'єктом може потенційно привести до великих втрат нафти при означених обставинах. Припускається, що серйозна аварія може статися при пошкодженні двох цистерн танкеру, а розрахункові втрати нафти при цьому складуть 20 000 тонн.

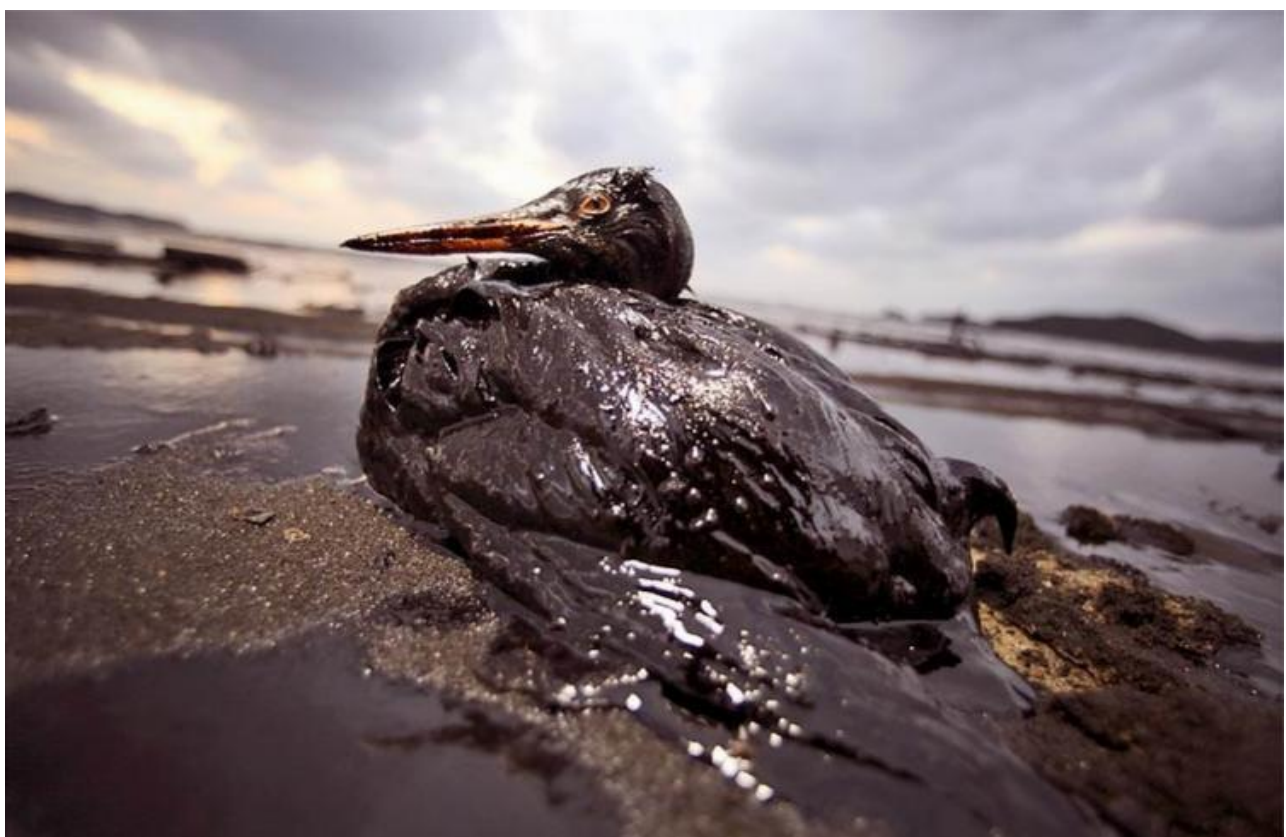


Рисунок 1.3 - Жертва розливу нафти

Транспортування потенційно небезпечних вантажів була ретельно досліджена Об'єднаним Дослідницьким Центром при Комітеті Європейського Суспільства в Іспрі (Італія) і Технічним Університетом Данії (Romer et al 1993). На основі цієї інформації, імовірність крупних розливів (більше 100 тонн) в будь-якому порту була визначена як  $9 \cdot 10^{-6}$  при одному заході в порт. Наприклад, імовірність хоч би одного зіткнення впродовж року при 408 суднозаходах буде дорівнювати:

$$1 - (1 - 9 \cdot 10^{-6})^{408} = 3,67 \cdot 10^{-3},$$

або 3,67 випадків в 1000 років, що еквівалентно часу, коли випадок

відбувається раз в 272 роки.

Імовірність того, що за нормативний період експлуатації (100 років) хоч би один раз відбудеться розлив складе

$$1 - (1 - 3,67 \cdot 10^{-3})^{100} = 0,307 = 30,7 \text{ \%}.$$

Значення 30,7 % можна трактувати таким чином: в 31-ій із 100 реалізацій процесу обслуговування флоту тривалістю 100 років відбувається хоч б одна аварія з розливом нафти більше 100 тон.

**Швартовка до причалу, підключення та роз'єднання.** Ці операції пов'язані з небезпекою пошкодження плаваючих шлангів катером і зіткнення з підводним обладнанням.

Пошкодження плаваючих шлангів при перетині їх судами відбувається імовірністю 1 раз у 20 років. Можливі витоки нафти при цьому складають біля 7 тонн.

**Розвантаження нафти.** Ця операція відбувається після швартовки танкуру до причалу і з'єднання шлангів до системи розвантаження танкуру. До цього моменту вже проведені іспити та перевірки, встановлений контроль і починається розвантаження сирої нафти.

У цей момент можливі: обрив швартових, вихід з ладу ущільнення і розрив шлангу.

Обрив швартових може привести до надмірної напруги на нафтопроводящому шлангу, що може спричинити втрати до 100 кг нафти на кожному шлангу. Це найпоганіший варіант, і передбачається, що у момент обриву швартових насоси працюють. Якщо насоси не працюють, то більш реальною є цифра витрати нафти – 20–30 літрів. Це викликане тим, що шланги обладнані спеціальними з'єднаннями із подвійною блокировкою. Швартові мають менш міцну конструкцію, ніж шланг і можуть обірватися 1 раз в 5 років.

За прогнозами, імовірність аварії у разі виходу з ладу ущільнень шлангу складає один раз на два роки, при цьому можливий виток нафти до 10 літрів. При щільності нафти 0,85 кг/дм<sup>3</sup>, вона дорівнює втраті 9 кг нафти кожні два роки або 4,5 кг нафти у рік.

Звичайно об'єм витоку, який очікується у випадку пошкодження трубопроводу дорівнює 1000 тонн [1].

## 1.7 Методи боротьби з нафтовим забрудненням води

Захисні заходи і очисні роботи зазвичай здійснюються під час розливів нафти в океані, коли можливі контакти з сушою або важливими природними ресурсами. Зусилля по очищенню залежать від обставин розливу. Близькість розливів нафти з густонаселеними районами, гаванями, громадськими пляжами, рибальськими майданчиками, місцями осередку тваринного світу (важливими природними зонами), заповідними місцями; видами, яким загрожує небезпека; також середовищем існування прибережної лінії (захищеними від припливів обмілинами, трясовинами) впливає на захисні заходи і очисні роботи.

Незважаючи на те, що сильні вітри і шторми заважають основним захисним заходам та очищенню, вони також сприяють розчинення нафти у воді, доки вона не досягне берега.

Методи боротьби з нафтовим забрудненням води наступні:

- 1) захист плавучими загородженнями (бонами) берегової лінії від плями нафти на воді;
- 2) випалювання важких нафтових фракцій;
- 3) збір нафти і закачування її в спеціальні очисні судна;
- 4) обробка нафтової плями бактеріями (наприклад, *Pseudomonas*), розкладницькими вуглеводнями;
- 5) застосування нових спеціально розроблених диспергуючих агентів - менш токсичних і які більш піддаються біорозкладу, ніж традиційні;
- 6) прокладка маршрутів супертанкерів подалі від небезпечних вод та екологічно вразливих узбережжь;
- 7) будівництво танкерів з подвійними стінками вантажних ємностей;
- 8) впровадження нових баластних систем.

Команда Північно-Західного університету США розробила високопористу смарт-губку, яка вбирає нафту з води (рис.1.4). Її пропонують використовувати для очищення морів та океанів. Ця губка екологічніша за аналоги, а також дешевша у виробництві. "Розумна" багаторазова губка здатна увібрати в себе обсяг нафти, що в 30 разів перевищує її вагу. Раніше створювалися губки, у яких цей показник вище, але вони програють новому прототипу за іншими параметрами [6].

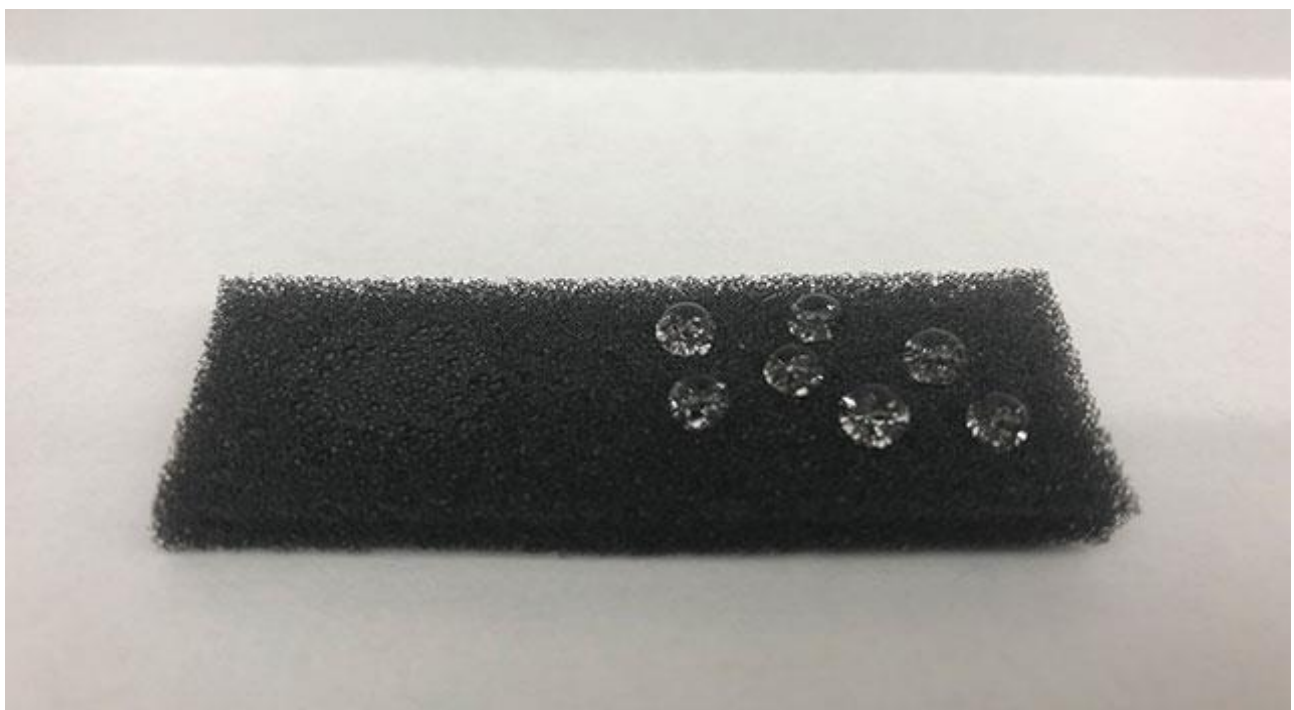


Рисунок 1.4 - Смарт-губка вбирає олію та ігнорує воду

## 2 ТЕОРЕТИЧНІ ПРЕДУМОВИ РОЗРАХУНКУ ДИФУЗІЇ НАФТИ У МОРІ

### 2.1 Вивід диференційного рівняння

Уявимо, що стався аварійний розлив нафти об'ємом  $W_O$ , і нафтова пляма у плані має вигляд кола з початковою концентрацією нафти  $C_0$ . Початок системи координат розташуємо в центрі плями незалежно від того, чи залишається пляма на місці чи переміщується під дією течії й вітру. Перенесення плями по акваторії відбувається за рахунок адвекції, а переміщення речовини в плямі – турбулентної дифузії.

Оцінка розповсюдження нафтової плями круглої форми на поверхні води за рахунок турбулентності водних мас найбільш просто може бути виконана методом, який оснований на рішенні диференційного рівняння турбулентної дифузії в полярних координатах.

Припустимо, що в середньому перенос нафти в плямі відбувається рівномірно у всій сторони від центру вздовж радіуса. Поперек радіуса результуючий перенос дорівнює нулю. У зв'язку з цим, концентрація нафти на поверхні води змінюється тільки вздовж радіусів, на колах з центром у початку координат вона постійна.

Зроблене припущення правомочні, коли пульсації швидкості течії в потоці мають розподіл, близький до нормального, коефіцієнт турбулентної дифузії одинаковий вздовж і поперек осередненого вектора швидкості течії, в межах плями швидкості течії в окремих точках незначно відрізняються одне від одного за значеннями і напрямом.

Виділимо на плямі, яка розглядається, сектор із кутом  $\alpha$  (рис.2.1). На відстані  $r$  від центра концентрацію нафти і її похідну по радіусу позначимо  $C$  і  $\partial C / \partial r$ , а інтенсивність турбулентного переносу та його похідну –  $q$  та  $\partial q / \partial r$ .

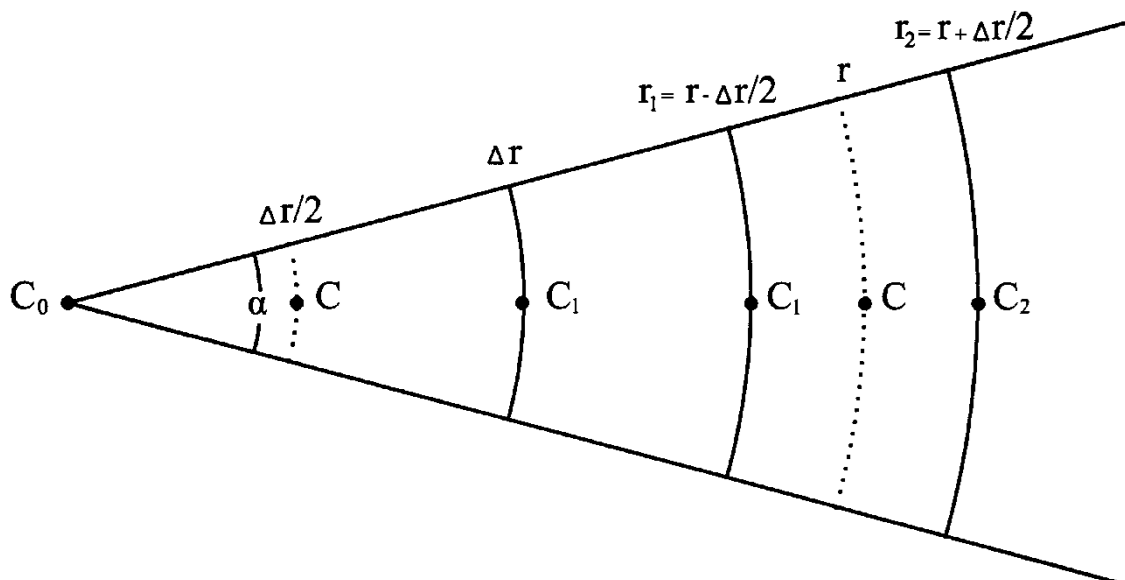


Рисунок 2. 1 - Схема до виводу диференціального рівняння

З двох сторін від концентрації, яка розглядається, проведемо дуги з радіусами  $r_1=(r-\Delta r/2)$  і  $r_2=(r+\Delta r/2)$ , довжина яких відповідно складе  $ar_1$  і  $ar_2$ .

Поверхня, обмежена дугами й відрізками радіусів, буде мати площину  $\Delta\omega$ , яка дорівнює:

$$\Delta\omega = ar\Delta r.$$

Кількість речовини, яка надійшла на контрольну площину через першу дугу за час  $\delta t$ , виражається величиною:

$$m_1 = q_1 \Delta\omega_1 \delta t = q_1 ar_1 \delta t = q_1 \alpha (r - \Delta r/2) \delta t. \quad (2.1)$$

За цей же час через другу дугу буде винесено:

$$m_2 = q_2 \alpha (r + \Delta r/2) \delta t. \quad (2.2)$$

Зміна кількості речовини за рахунок її надходження через дугу 1 і виносу через дугу 2 дорівнює:

$$\begin{aligned} \Delta m &= m_1 - m_2 = \alpha \delta t [q_1(r - \Delta r/2) - q_2(r + \Delta r/2)] = \\ &= \alpha \delta t [r(q_1 - q_2) - (q_1 + q_2)\Delta r/2]. \end{aligned} \quad (2.3)$$

Представимо різницю і суму величин  $q_1$  і  $q_2$  у наступному вигляді:

$$q_1 - q_2 = -(\partial q / \partial r) \Delta r = -\partial / \partial r [-D(\partial C / \partial r)] \Delta r = D(\partial^2 C / \partial r^2) \Delta r,$$

$$(q_1 + q_2)/2 = q = -D(\partial C / \partial r).$$

Тоді формула (2.3) буде мати вигляд:

$$\begin{aligned} \Delta m &= \alpha \delta t [r D(\partial^2 C / \partial r^2) \Delta r - (-D(\partial C / \partial r)) \Delta r] = \\ &= ar \Delta r \delta t [D(\partial^2 C / \partial r^2) + D(\partial C / \partial r) / r] = \\ &= \Delta\omega \delta t [D(\partial^2 C / \partial r^2) + D(\partial C / \partial r) / r]. \end{aligned} \quad (2.4)$$

Крім того, на контрольної поверхні буде трансформовано  $\Delta m_H = \Delta\omega C k_H \delta t$  речовини (де  $k_H$  – коефіцієнт неконсервативності, 1/c). З врахуванням цього загальне зниження кількості нафти ( $\Delta m_3$ ) на поверхні буде дорівнювати:

$$\Delta m_3 = \Delta m + \Delta m_H = \Delta\omega \delta t [D(\partial^2 C / \partial r^2) + D/r (\partial C / \partial r) + C k_H]. \quad (2.5)$$

Процеси виносу, надходження й трансформації речовини визначають зміни її кількості за часом на контрольній поверхні. Ці зміни можна подати у

вигляді:

$$\Delta m_3 = \Delta \omega \delta t (\partial C / \partial t). \quad (2.6)$$

Якщо праві частини рівнянь (2.5) та (2.6) розділити на  $\Delta \omega \delta t$ , то одержимо:

$$\partial C / \partial t = D(\partial^2 C / \partial r^2) + D/r (\partial C / \partial r) + C k_H. \quad (2.7)$$

Таким чином, модель розповсюдження речовини при аварійних розливах разом з граничними й початковими умовами буде записана у вигляді:

$$\begin{aligned} \partial C / \partial t &= D(\partial^2 C / \partial r^2) + D/r (\partial C / \partial r) + C k_H, \\ C(t, r) &= C_O, \quad \text{при } t = 0 \text{ і } 0 \leq r \leq r_O; \\ C(t, r) &= 0, \quad \text{при } t \geq 0 \text{ і } r > r_t, \end{aligned} \quad (2.8)$$

де  $C_O$  – концентрація речовини в початковий момент часу у плямі;  $r_O, r_t$  – радіус плями в початковий момент часу.

## 2.2 Розв'язання диференціального рівняння

Для виводу розрахункової формули скористуємося диференціальним рівнянням з граничними й початковими умовами (2.8), що дозволить визначити значення концентрації речовини в плямі в різні моменти часу.

У деякий момент часу  $t=k\Delta t$  (де  $\Delta t$  – крок в часі) виділимо на плямі нафти сектор з кутом  $\alpha$ , розб'ємо його дугами з кроком  $\Delta r$  на відсіки (рис.2.2), пронумеруємо ці відсіки, починаючи від центра  $n=1,2,3\dots$ . Зазначимо, що середні концентрації речовини у відсіках спостерігаються на дугах, які проходять через середину відсіку. Середню концентрацію речовини в момент часу  $t=k\Delta t$  в відсіку з номером  $n$  позначимо  $C_{k,n}$ . Вона буде спостерігатись на відстані  $r_n=(2n-1)(\Delta r/2)$  від центра. Середні концентрації речовини у відсіках ліворуч і праворуч від відсіку, який розглядається, у той же момент часу позначимо  $C_{k,n-1}$  і  $C_{k,n+1}$ , а концентрацію у відсіку  $n$  у подальший момент часу  $t_{k+1}=(k+1)\Delta t$  позначимо  $C_{k+1,n}$ .

Основне рівняння (2.8) у вигляді кінцевих різниць буде записано:

$$\Delta C / \Delta t = D(\Delta^2 C / \Delta r^2) + (D/r)(\Delta C / \Delta r) + k_H C. \quad (2.9)$$

Запишемо усі різниці в (2.10), використовуючи схему на рис. 2.2:

$$\Delta C / \Delta t = (C_{k+1,n} - C_{k,n}) / \Delta t, \quad (2.10)$$

$$\Delta C/\Delta r = (C_{k,n+1} - C_{k,n-1})/(2\Delta r), \quad (2.11)$$

$$\begin{aligned} \Delta^2 C/\Delta r^2 &= [(\Delta C/\Delta r)_\Pi - (\Delta C/\Delta r)_L]/\Delta r = \\ &= [(C_{k,n+1} - C_{k,n})/\Delta r - (C_{k,n} - C_{k,n-1})/\Delta r]/\Delta r = \\ &= (C_{k,n+1} + C_{k,n-1} - 2C_{k,n})/\Delta r^2, \end{aligned} \quad (2.12)$$

$$r = (n\Delta r - \Delta r/2) = \Delta r(n - 1/2) = \Delta r(2n - 1)/2, \quad (2.13)$$

де  $(\Delta C/\Delta r)_\Pi$  і  $(\Delta C/\Delta r)_L$  – прирошення концентрації на правій і лівій межах відсіку з номером  $n$ .

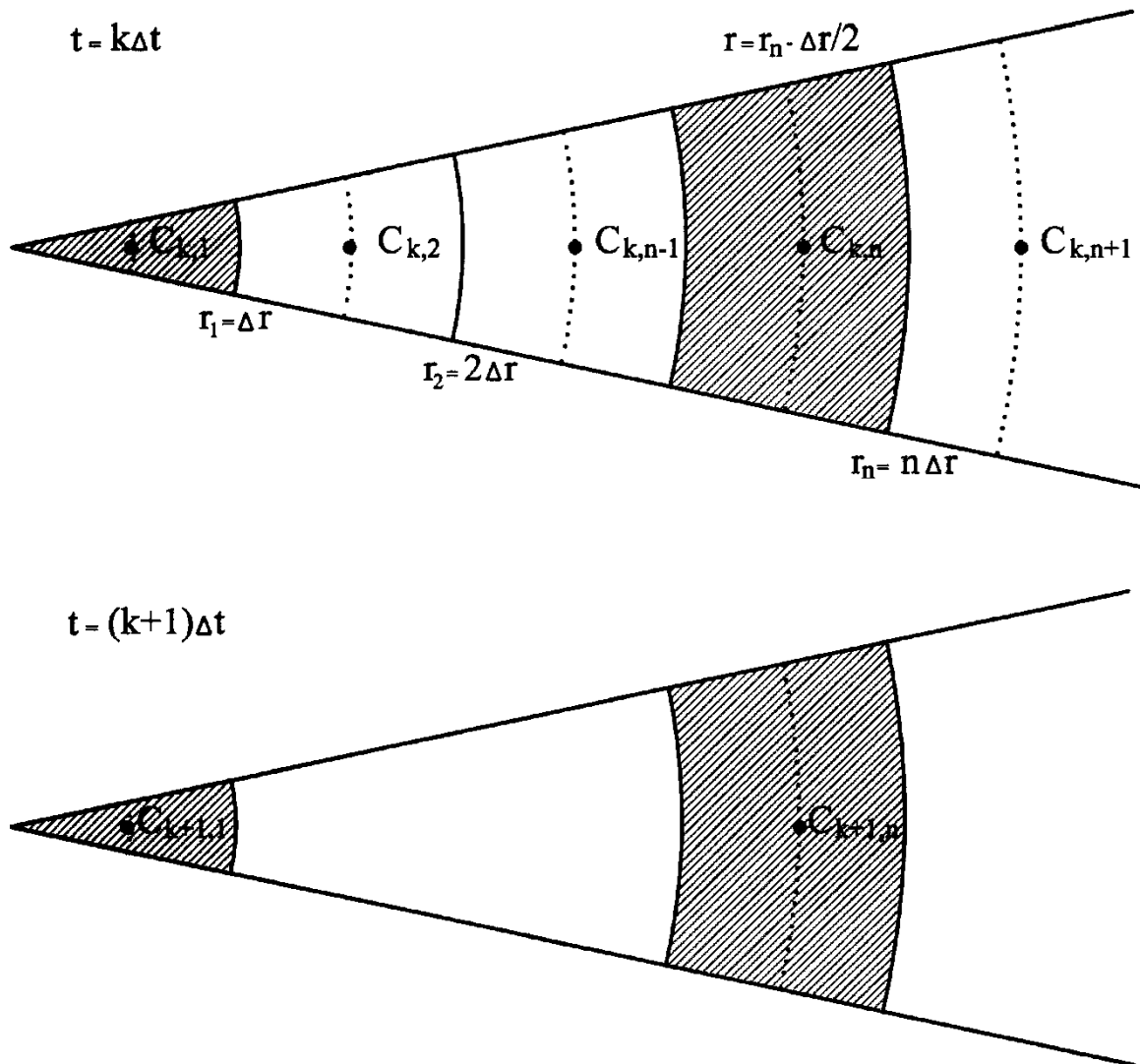


Рисунок 2.2 - Схема до виводу розрахункової формули

Підставивши ці вирази в формулу (2.9), розкривши дужки і вирішивши її відносно  $C_{k+1,n}$ , отримаємо:

$$C_{k+1,n} = (1 - 2a + k_H \Delta t)C_{k,n} + a(bC_{k,n+1} + dC_{k,n-1}), \quad (2.14)$$

де  $a = D\Delta t/\Delta r^2$ ;  $b = 2n/(2n-1)$ ;  $d = 2(n-1)/(2n-1)$ .

Формулу (2.14) можна спростити, прийнявши  $a = 0,25$ , тоді

$$C_{k+1,n} = (0,5 + k_H \Delta t)C_{k,n} + 0,25(bC_{k,n+1} + dC_{k,n-1}), \quad (2.15)$$

при  $\Delta t = \Delta r^2/(4D)$  і  $\Delta t < 0,5/(-k_H)$ .

Сума коефіцієнтів у формулах (2.14) і (2.15) дорівнює  $(1+k_H \Delta t)$ . Це означає, що кількість речовини від одного моменту часу до другого зменшується в  $(1+k_H \Delta t)$  разів (значення коефіцієнту  $k_H$  негативні). Тоді перевіркою на вірність виконання розрахунків буде вираз:

$$\sum_1^{n_k} C_{k,n}(2n-1) = C_O n_O^2 (1+k_H \Delta t)^k, \quad (2.16)$$

де  $n_k$  – кількість кілець у плямі в момент часу  $k$ ;  
 $k$  – номер кроку у часі з моменту розливу;  
 $C_O$  – початкова концентрація речовини;  
 $n_O$  – кількість кілець у плямі у початковий момент часу.

## 2.3 Вихідні дані та послідовність розрахунку

### Вихідні дані.

Для розрахунку переносу й дифузії нафти при її аварійних розливах необхідні такі вихідні дані: об'єм розливу  $W_O$  або його маса  $M_O$ ; характеристика розкладання розлитої нафти  $k_H$  (коефіцієнт неконсервативності); коефіцієнт Шезі  $C$ ; щільність нафти  $\rho_H$ ; глибина акваторії  $H$  м; швидкість вітру на висоті 2 м над водною поверхнею  $V_B$ ; середня для ділянки висота хвилі 1%-ої забезпеченості в системі  $h$ ; відстань розливу від берегової лінії  $L$ .

### Послідовність розрахунку.

1. Визначається початковий радіус плями забруднення  $r_O$ , виходячи з припущення, що товщина нафтової плями після гравітаційного розтікання складає 0,001 м:

$$r_O = \sqrt{W_O / \pi / 0,001}. \quad (2.17)$$

2. За величиною  $r_O$  визначається ширина кілець  $\Delta r$  з урахуванням такої вимоги:

$$\Delta r = r_O / n_O, \quad n_O \geq 2. \quad (2.18)$$

3. Середня швидкість дрейфової течії (м/с) розраховується за формулою:

$$V_T = k_T * \sqrt{V_B^2 / 3 + 10h}, \quad (2.19)$$

де  $k_T$  – коефіцієнт, який залежить від коефіцієнта Шезі  $C$ , що визначається за табл. 2.1;

$V_B$  – швидкість вітру на висоті 2 м над водною поверхнею;

$h$  – середня для ділянки висота хвилі 1%-ної забезпеченості в системі (прийнята рівною 1,25 м).

Таблиця 2.1 – Значення  $k_T$  в залежності від коефіцієнта Шезі  $C$

$C$	10	20	30	40	50	60	70	80	90	1000
$k_T$	0,0010	0,0018	0,0027	0,0034	0,0042	0,0050	0,0055	0,0060	0,0064	0,0068

4. Коефіцієнт турбулентної дифузії розраховується за формулою:

$$D = g * H * V_T / (M * C), \quad (2.20)$$

$$M = \begin{cases} 0,7C + 6, & \text{при } C < 60; \\ 48, & \text{при } C \geq 60. \end{cases}$$

5. Розраховується крок у часі:

$$\Delta t = \Delta r^2 / (4D). \quad (2.21)$$

6. Час, коли пляма досягне берегової лінії, дорівнює:

$$T_B = L / V_T. \quad (2.22)$$

7. Оцінюється кількість кроків у часі до контакту з берегом:

$$K_B = T_B / \Delta t, \quad (2.23)$$

8. Розраховується початкова концентрація нафти:

$$C_O = M_O / (\pi * r_O^2). \quad (2.24)$$

9. В  $n_O$  перших кілець, починаючи від центра плями, записується початкова концентрація  $C_O$ . За формулою (2.14) або (2.15) розраховується концентрація речовини в наступний момент часу (через  $\Delta t$ ). Розрахунок ведеться покрокове від одного моменту часу до другого. Розрахунок

закінчується у момент контакту плями з берегом.

10. В усі моменти часу повинна виконуватися умова (2.16). Якщо замість коефіцієнту неконсервативності  $k_H$  використовується коефіцієнт розпаду  $k_P$ , то умова (2.16) має вигляд:

$$\sum_1^{n_k} C_{k,n} (2n - 1) = C_O n_O^2 (1 - k_P \Delta t)^k \quad (2.25)$$

При розрахунках розповсюдження розлитої нафти прийняті характеристики розкладання її кувейтського виду, оскільки значення цих характеристик близькі до середніх значень видів нафти, які імпортуються.

Дані про розкладання нафти наведені в табл. 2.2.

Врахування випаровування нафти виконується за формулою :

$$\varsigma = \varsigma^* \{ l - \delta u [l - \exp(-\kappa t)] \}, \quad (2.26)$$

де  $\varsigma$  - концентрація нафти з урахуванням випаровування;

$\varsigma^*$  - концентрація нафти без урахування випаровування;

$\delta u$  - об'єм повного випаровування легких фракцій по відношенню до початкового об'єму, в долях одиниці;

$$\kappa = \ln 2 / \tau;$$

$\tau$  - інтервал часу, за який випаровується половина легких фракцій (по аналогії з періодом напіврозпаду).

Таблиця 2.2 - Характеристика розкладання розлитої нафти

Час після розливу, год	Об'єм нафти, яка випарилася (літо/зима)% від Vo	Вміст води у нафті % від Vo (літо/зима)	Об'єм плями нафти на воді, % від Vo (літо/зима)	Об'єм дисперсированої нафти (літо/зима)
1	19,9/16,7	1,8/51,5	79,3/167	2,2/2,3
3	26,6/20,4	5,4/64,4	70,9/205	6,3/6,6
6	31,2/24,1	10,3/65,0	63,8/181	11,6/12,6
12	36,4/28,7	19,0/65,0	53,7/140	20,1/22,3
18	39,9/32,1	26,3/65,0	45,3/109	26,7/29,8
24	41,9/34,6	32,5/65,0	38,9/85,4	31,8/35,5
36	41,9/38,6	42,0/65,0	32,1/51,1	39,5/43,5
48	41,9/41,9	48,7/65,0	25,7/28,4	44,9/48,2
60	41,9/41,9	53,5/65,0	20,1/20,1	48,8/51,1

Розрахунок зручно виконувати в табличному редакторі EXCEL.

Етапи розрахунку:

а) спочатку формується перша частина табл. 3.1 (див. приклад розрахунку) – вихідні дані;

б) далі виконуються попередні розрахунки і заповнюється друга частина табл. 3.1;

в) потім формується табл. 3.2 з основним розрахунком.

Наприкінці записуються висновки з основними результатами розрахунків.

### **3 ПРИКЛАД РОЗРАХУНКУ І ЗАВДАННЯ ДЛЯ ВИКОНАННЯ КУРСОВОГО ПРОЕКТУ**

#### **3.1 Приклад розрахунку**

*Вихідні дані:* первинний розлив складає 25 т; щільність нафти складає 0,85 т/м<sup>3</sup>; товщина нафтової плівки наприкінці гравітаційного розтікання – 0,001 м; середня швидкість вітру на висоті 2 м над поверхнею води – 6,5 м/с; висота хвиль – 1,25 м; коефіцієнт Шезі – 30 м<sup>0,5</sup>/с; глибина акваторії – 15,0 м; відстань від берегу – 35 км; коефіцієнт розпаду нафти – 0,011 доб.<sup>-1</sup>

*Rішення.*

1. Діаметр плями після гравітаційного розтікання дорівнює:

$$r_O = \sqrt{25/0,85 / (0,001*3,14)} = 96,79 \text{ (м)}.$$

2. Вважаємо  $\Delta r = 32,26$  м;  $n_O = 3$ .

3. Швидкість вітрової течії становить:

$$V_C = 0,0027*6,5 \sqrt{3 + 10*1,25} = 0,069 \text{ м/с.}$$

4. Коефіцієнт турбулентної дифузії складає:

$$D = 9,8*15,0*0,069/(30*27) = 0,0125 \text{ м}^2/\text{с.}$$

5. Крок у часі буде дорівнювати:

$$\Delta t = 32,26^2/(4*0,0125) = 20810 \text{ (с)} = 5,781 \text{ (г)} = 0,2409 \text{ (діб).}$$

6. У такому разі пляма нафти досягне берегу за

$$T_B = 35000/0,069 = 140,9 \text{ (г)} = 5,871 \text{ (діб).}$$

7. Кількість кроків у часі до контакту з берегом складе

$$K_B = 5,871 / 0,2409 = 24,37 \approx 24.$$

8. Початкова концентрація нафти у плями буде дорівнювати:

$$C_O = 25000 / (3,14*96,79^2) = 0,850 \text{ (кг/м}^2\text{)} = 850 \text{ (г/м}^2\text{).}$$

9. Розрахунок дифузії нафтової плями наведений в табл.3.

10. Початкова перевірочна сума складає:

$$C_O n_O^2 = 850 * 3^2 = 7650.$$

У кожний момент часу  $k$  сума концентрацій нафти с врахуванням площин кілець повинна складати:

$$C_O n_O^2 (1 - k_P \Delta t)^k = 7650 * (1 - 0,011 * 0,2409)^k = 7650 * 0,99735^k.$$

11. Спираючись на формулу (2.26), розраховуємо концентрацію нафти з урахуванням випаровування:

$$\zeta^* = 245 \text{ г/м}^2$$

По табл.2.2 знаходимо, що об'єм повного випаровування легких фракцій по відношенню до початкового об'єму (в долях від одиниці) дорівнює 0.419.

$\tau$  для літнього періоду приблизно дорівнює 1.2 год. Тоді:

$$k = 1n2/\tau = 1n2/1,2 = 0,578;$$

$\tau$  для зимового періоду приблизно дорівнює 3,1 год. Тоді:

$$k = 1n2/\tau = 1n2/3,1 = 0,224;$$

$$t = k \Delta t$$

Знаходимо

$$\text{для літа: } \zeta = \zeta^* \{1 - \delta u [1 - \exp(-kt)]\} = 245 * \{1 - 0,419 [1 - \exp(-0,578*t)]\} = 145,9 \text{ г/м}^2,$$

$$\text{для зими: } \zeta = \zeta^* \{1 - \delta u [1 - \exp(-kt)]\} = 245 * \{1 - 0,419 [1 - \exp(0,224*t)]\} = 170,1 \text{ г/м}^2$$

Таблиця 3.1 – Вихідні дані та результати попередніх розрахунків

<b>Вихідні дані</b>	
Первинний розлив, т	25
Щільність нафти, $\text{т/м}^3$	0,85
Товщина нафтової плівки після гравітаційного розтікання, м	0,001
Середня швидкість вітру у напрямку берегу, м/с	6,5
Висота хвиль з забезпеченістю 1% у системі, м	1,25
Глибина акваторії, м	15,0
Коефіцієнт Шезі	30
Відстань від берегу, км	35,0

<b>Результати попередніх розрахунків</b>	
Початковий радіус плями, м	96,79
Крок у просторі $\Delta r$ , м	32,26
Кількість кілець у початковий момент часу $n_0$	3
Швидкість вітрової течії, м/с	0,069
Коефіцієнт турбулентної дифузії, $\text{м}^2/\text{с}$	0,0125
Крок у часі $\Delta t$ , діб	0,2409
Пляма нафти достигне берегу через, діб	5,871
Кількість інтервалів часу, коли пляма достигне берегу	24
Початкова концентрація нафти у плями, $\text{г}/\text{м}^2$	850
Початкова перевірочна сума	7650

### *Висновки.*

По результатах розрахунків можемо зробити такі висновки:

1. Пляма досягне берегу через 5,87 діб.
2. Радіус плями наприкінці розрахункового часу ( $24\Delta t = 5,8$  діб) складе  $(24+3)\Delta r = 27*32,26 = 871$  м.
3. Загальна площа поверхні під нафтовою плямою дорівнює приблизно  $3,14*871^2 = 2,38 \text{ км}^2$ .
4. Максимальна концентрація нафти у плямі без обліку випаровування складає  $245 \text{ г}/\text{м}^2$ .
5. З врахуванням випаровування влітку концентрація нафти у плямі складає  $145,9 \text{ г}/\text{м}^2$ , з врахуванням випаровування взимку –  $170,1 \text{ г}/\text{м}^2$ .

Таблиця 3 – Розрахунок дифузії плями

n	2n-1	0,25b	0,25d	Ck,n, г/м <sup>2</sup>							
				k=0	1	2	3	4	5	6	7
1	1	0,500000	0,000000	850,000	847,748	845,501	800,760	744,333	688,295	636,596	590,172
2	3	0,333333	0,166667	850,000	847,748	760,501	692,150	636,203	588,545	547,122	510,711
3	5	0,300000	0,200000	850,000	592,748	518,995	475,504	444,223	419,081	397,500	378,284
4	7	0,285714	0,214286	0,000	182,143	217,606	231,004	236,352	237,869	237,210	235,160
5	9	0,277778	0,222222	0,000	0,000	40,476	68,488	87,952	101,860	112,016	119,513
6	11	0,272727	0,227273	0,000	0,000	9,199	20,141	30,585	39,917	48,046	55,046
7	13	0,269231	0,230769	0,000	0,000	0,000	0,000	2,123	5,704	10,028	14,624
8	15	0,266667	0,233333	0,000	0,000	0,000	0,000	0,000	0,495	1,577	3,155
9	17	0,264706	0,235294	0,000	0,000	0,000	0,000	0,000	0,000	0,117	0,429
10	19	0,263158	0,236842	0,000	0,000	0,000	0,000	0,000	0,000	0,028	0,115
11	21	0,261905	0,238095	0,000	0,000	0,000	0,000	0,000	0,000	0,000	0,096
12	23	0,260870	0,239130	0,000	0,000	0,000	0,000	0,000	0,000	0,000	0,000
13	25	0,260000	0,240000	0,000	0,000	0,000	0,000	0,000	0,000	0,000	0,000
14	27	0,259259	0,240741	0,000	0,000	0,000	0,000	0,000	0,000	0,000	0,000
15	29	0,258621	0,241379	0,000	0,000	0,000	0,000	0,000	0,000	0,000	0,000
16	31	0,258065	0,241935	0,000	0,000	0,000	0,000	0,000	0,000	0,000	0,000
17	33	0,257576	0,242424	0,000	0,000	0,000	0,000	0,000	0,000	0,000	0,000
18	35	0,257143	0,242857	0,000	0,000	0,000	0,000	0,000	0,000	0,000	0,000
19	37	0,256757	0,243243	0,000	0,000	0,000	0,000	0,000	0,000	0,000	0,000
20	39	0,256410	0,243590	0,000	0,000	0,000	0,000	0,000	0,000	0,000	0,000
21	41	0,256098	0,243902	0,000	0,000	0,000	0,000	0,000	0,000	0,000	0,000
Ліва частина (25)		7650,000	7629,728	7609,509	7589,344	7569,232	7549,173	7529,168	7509,216	7489,316	7469,470
Права частина (25)		7650,000	7629,728	7609,509	7589,344	7569,232	7549,173	7529,168	7509,216	7489,316	7449,675

Продовження табл. 3

$Ck_n, \text{г}/\text{м}^2$													
11	12	13	14	15	16	17	18	19	20	21	22	23	24
450,518	424,460	401,021	379,848	360,643	343,156	327,174	312,516	299,028	286,579	275,056	264,360	254,408	<b>245,126</b>
400,790	379,831	360,800	343,452	327,581	313,010	299,592	287,197	275,715	265,051	255,123	245,857	237,192	229,071
316,236	303,443	291,514	280,370	269,943	260,170	250,997	242,375	234,259	226,609	219,388	212,564	206,106	199,987
220,018	215,435	210,752	206,033	201,326	196,665	192,078	187,582	183,191	178,913	174,755	170,719	166,805	163,015
133,856	135,037	135,619	135,715	135,418	134,804	133,934	132,858	131,618	130,247	128,774	127,222	125,610	123,954
70,457	74,100	77,151	79,688	81,774	83,470	84,824	85,881	86,680	87,253	87,629	87,835	87,892	87,821
31,667	35,228	38,478	41,424	44,082	46,468	48,600	50,496	52,174	53,653	54,948	56,076	57,052	57,888
11,957	14,326	16,653	18,908	21,070	23,127	25,070	26,896	28,603	30,193	31,667	33,030	34,286	35,439
3,714	4,905	6,177	7,502	8,857	10,221	11,578	12,916	14,224	15,495	16,722	17,902	19,031	20,108
0,923	1,385	1,933	2,556	3,242	3,979	4,755	5,560	6,385	7,222	8,062	8,900	9,731	10,549
0,176	0,314	0,500	0,736	1,021	1,351	1,723	2,132	2,573	3,042	3,534	4,045	4,569	5,103
0,024	0,055	0,104	0,176	0,272	0,395	0,545	0,722	0,925	1,152	1,402	1,673	1,963	2,269
0,002	0,007	0,017	0,034	0,060	0,098	0,149	0,214	0,294	0,389	0,500	0,627	0,768	0,924
0,000	0,001	0,002	0,005	0,011	0,020	0,035	0,055	0,082	0,117	0,160	0,212	0,273	0,343
0,000	0,000	0,000	0,001	0,001	0,003	0,007	0,012	0,020	0,031	0,045	0,064	0,087	0,116
0,000	0,000	0,000	0,000	0,000	0,000	0,000	0,000	0,002	0,004	0,011	0,017	0,025	0,035
0,000	0,000	0,000	0,000	0,000	0,000	0,000	0,000	0,001	0,002	0,004	0,006	0,010	
0,000	0,000	0,000	0,000	0,000	0,000	0,000	0,000	0,000	0,000	0,001	0,001	0,002	
0,000	0,000	0,000	0,000	0,000	0,000	0,000	0,000	0,000	0,000	0,000	0,000	0,000	
0,000	0,000	0,000	0,000	0,000	0,000	0,000	0,000	0,000	0,000	0,000	0,000	0,000	
0,000	0,000	0,000	0,000	0,000	0,000	0,000	0,000	0,000	0,000	0,000	0,000	0,000	
7429,934	7410,245	7390,607	7371,022	7351,489	7332,008	7312,578	7293,199	7273,872	7254,597	7235,372	7216,198	7197,075	7178,003
7429,934	7410,245	7390,607	7371,022	7351,489	7332,008	7312,578	7293,199	7273,872	7254,597	7235,372	7216,198	7197,075	7178,003

### 3.2 Завдання для виконання курсового проекту

Типовий курсовий проект “Оцінка розповсюдження нафти в морі при її аварійних розливах” виконується за варіантами даних нафтових розливів (табл. 3.3). Варіант можна обирати в алфавітному порядку прізвищ студентів, або за двома останніми цифрами номеру залікової книжки.

Таблиця 3.3 – Вихідні дані

№ варі-анту	Маса розливу, т	Щільність нафти, т/м <sup>3</sup>	Початкова товщина плівки, м	Середня швидкість вітру, м/с	Висота хвиль 1% у системі, м	Коефіцієнт Шезі, м <sup>0,5</sup> /с	Кількість кілець, n <sub>O</sub>	Глибина акваторії, м	Відстань від берегу, км
1	40	0,85	0,001	5,0	1,25	31	4	18	27
2	28	0,85	0,001	6,3	1,25	30	4	15	25
3	24	0,85	0,001	5,5	1,25	33	3	17	29
4	32	0,85	0,001	6,8	1,25	32	3	20	33
5	30	0,85	0,001	7,1	1,25	34	3	21	45
6	37	0,85	0,001	7,0	1,25	35	4	22	34
7	26	0,85	0,001	6,7	1,25	30	3	19	30
8	33	0,85	0,001	6,5	1,25	30	3	16	36
9	35	0,85	0,001	6,0	1,25	34	4	17	28
10	27	0,85	0,001	6,1	1,25	31	4	15	26
11	36	0,85	0,001	5,9	1,25	33	3	23	41
12	30	0,85	0,001	5,8	1,25	30	3	22	35
13	34	0,85	0,001	6,2	1,25	35	4	20	31
14	31	0,85	0,001	6,6	1,25	34	3	19	39
15	29	0,85	0,001	5,7	1,25	32	3	18	37

**Завдання курсового проекту:** 1) розрахувати час коли пляма досягне берегу; 2) визначити радіус плями та її площину наприкінці розрахункового часу (у момент контакту плями з берегом); 3) розрахувати максимальне значення концентрації нафти в плямі з врахуванням її неконсервативності при контакті з берегом; 4) розрахувати концентрацію нафти з урахуванням випаровування влітку та взимку.

**Курсовий проект повинен складатись** з вступу, трьох глав і висновків:  
у *вступі* студент викладає завдання, варіант і склад роботи, а також вказує на актуальність проблеми забруднення вод Світового океану нафтопродуктами;

у *першій главі* використовуючи розділ 1 даних методичних вказівок, викладаються особливості поведінки розлитої нафти у морі, опис проблеми нафтового забруднення та імовірність аварійних розливів. Студент до цієї глави може самостійно знайти інформацію, що стосується впливу нафто забруднення на навколишнє середовище та гідробіонтів;

використовуючи [1–3] і розділ 2 вказівок, складається друга глава щодо теоретичних основ розрахунків;

третя глава є самостійною розрахунковою частиною роботи, вона виконується згідно п. 2.3;

на основі виконаної роботи складаються *висновки*.

Після висновків наводиться перелік літературних джерел, які використовувались при написанні курсового проекту.

#### **Основні вимоги до оформлення:**

- формат листа - А-4;
- поля: ліве - 3 см, праве - 1,5 см, верхнє - 2 см, нижнє - 2 см;
- інтервал - 1,5; - абзацний відступ дорівнює п'яти знакам (1,25 см) і залишається постійним на протязі всього тексту.
- шрифт - Times New Roman, розмір шрифту - 14;
- нумерація сторінок – наскрізна, робиться арабськими цифрами у верхньому правому кутку без крапки (титульний аркуш та зміст включають до загальної нумерації, але номер сторінки на титульному аркуші та змісту не проставляють);
- вирівнювання тексту - по ширині та автоматична розстановка переносів виключена.

В Додатку А наведене оформлення титульного листа.

Готовий курсовий проект подається на перевірку викладачу, який веде практичні роботи.

Після отримання роботи у викладача студент повинен виправити помилки, якщо вони були, і захистити роботу.

#### **Питання для самоконтролю:**

1. Які основні характеристики нафтопродуктів?
2. Які основні джерела потрапляння нафтопродуктів в водне середовище?
3. Які шляхи розповсюдження нафтової плями?
4. Які методи попередження забруднення нафтою водного середовища?
5. Який негативний вплив спровокає нафтове забруднення на берегову смугу, водне середовище (Гідробіонтів)?
6. Яка імовірність розливів нафти, можливі сценарії?
7. Які існують методи боротьби з нафтовим забрудненням водного середовища?
8. Які граничні початкові умови диференціального рівняння при аварійних розливах нафти?
9. Яке спрощене диференційне рівняння для розрахунку розповсюдження нафтової плями в водному середовищі?
- 10.Що означають складові диференційного рівняння ( $\Delta r$ ,  $r_O$ ,  $n_O$ ,  $V_T$ ,  $k_T$ ,  $h$ ,  $V_B$ ,  $W_O$ ,  $\Delta t$ ,  $T_B$ ,  $K_B$ ,  $M$ ,  $C$ ,  $D$ )?
11. В яких одиницях вимірюється концентрація нафти при її розливі?

## ЛІТЕРАТУРА

1. Полетаєва Л.М., Юрасов С.М., Ільїна В.Г. Конспект лекцій з дисципліни «Моделювання і прогнозування стану довкілля» для студентів спеціальності «Екологія та охорона навколишнього середовища». Дніпропетровськ: «Економіка», 2005. 179 с.
2. Збірник методичних вказівок до самостійної роботи студентів заочної форми навчання з дисциплін кафедри прикладної екології (рівень підготовки – бакалавр; напрям підготовки – 0708 “Екологія”)/ Т.А.Сафранов, Ю.М.Соколов, А.Л.Цикало, Л.М.Полетаєва, Т.П.Шаніна, С.М.Юрасов, А.В.Чугай, Н.В.Грабко, В.А.Кузьміна. Одеса: «Екологія», 2005. 138 с.
3. Романчук М. Е. Методичні вказівки по організації роботи студентів при виконанні курсового проекту з дисципліни «Моделювання та прогнозування стану довкілля» для студентів З курсу природоохоронного факультету напряму підготовки 6.040106 «Екологія, охорона навколишнього середовища та збалансоване природокористування» ПДВ: Е-4, Е-6, Е-9. Одеса, ОДЕКУ.2014. 28 с.  
[http://eprints.library.odku.edu.ua/id/eprint/12786/1/RomME\\_Modeluvannya\\_MV\\_KP\\_DF\\_2014.pdf](http://eprints.library.odku.edu.ua/id/eprint/12786/1/RomME_Modeluvannya_MV_KP_DF_2014.pdf)
4. Жалкін Д.С., Жалкін С.Г. Сучасні методи переробки нафти. Хімотологія бензинів: Конспект лекцій. Харків: УкрДУЗТ, 2016. 41 с. URL: [http://lib.kart.edu.ua/bitstream/123456789/2987/1/%D0%9A%D0%BE%D0%BD%D1%81%D0%BF%D0%B5%D0%BA%D1%82%20%D0%BB%D0%B5%D0%BA%D1%86%D1%96%D0%B9.pdf](http://lib.kart.edu.ua/bitstream/123456789/2987/1/%D0%9A%D0%BE%D0%B D%D1%81%D0%BF%D0%B5%D0%BA%D1%82%20%D0%BB%D0%B5%D0%BA%D1%86%D1%96%D0%B9.pdf)
5. Нафтою i нафтопродуктами забруднення. URL: <https://esu.com.ua/article-71094>
6. День моря: як океан рятують за кордоном і що можна зробити в Україні URL: <https://rubryka.com/article/save-sea/>
7. Дембович Б.І., Яворська С.В. Забруднення океанів нафтою та нафтопродуктами. Матеріали VII Міжнародної наукової конференції. Дніпропетровськ: Адвента, 2013. URL: [https://www.zoology.dp.ua/z13\\_023.html](https://www.zoology.dp.ua/z13_023.html)
8. Франкова М., Проціпова К. Рік після краху танкера Delfi: історія та наслідки аварії. Суспільне. Новини.22 листопада 2020 р.

## ДОДАТОК А

МІНІСТЕРСТВО ОСВІТИ І НАУКИ УКРАЇНИ  
ОДЕСЬКИЙ ДЕРЖАВНИЙ ЕКОЛОГІЧНИЙ УНІВЕРСИТЕТ

Факультет – природоохоронний  
Кафедра \_\_\_\_\_

### КУРСОВИЙ ПРОЕКТ

з \_\_\_\_\_  
(назва дисципліни)

на тему: \_\_\_\_\_  
\_\_\_\_\_

Студента \_\_\_\_\_ курсу \_\_\_\_\_ групи  
спеціальності 101 «Екологія»

\_\_\_\_\_ (прізвище та ініціали)

Керівник \_\_\_\_\_

\_\_\_\_\_ (посада, вчене звання, науковий ступінь, прізвище та ініціали)

Національна шкала \_\_\_\_\_

Кількість балів: \_\_\_\_\_ Оцінка:

ECTS \_\_\_\_\_

Члени комісії \_\_\_\_\_

\_\_\_\_\_ (підпис) \_\_\_\_\_ (прізвище та ініціали)

\_\_\_\_\_ (підпис) \_\_\_\_\_ (прізвище та ініціали)

\_\_\_\_\_ (підпис) \_\_\_\_\_ (прізвище та ініціали)

м. Одеса - 20 \_\_\_\_\_ рік

## МЕТОДИЧНІ ВКАЗІВКИ

з виконання курсового проекту  
з дисципліни

**«Моделювання та прогнозування стану довкілля» (водне середовище)**

для бакалаврів 3 року навчання  
спеціальності 101 «Екологія»

Укладач: доц. Романчук М.Є.

Підп. до друку

Формат 60x84/16

Папір

Умовн. друк. арк.

Тираж

Зам. №

Надруковано з готового оригінал-макета

---

*Одеський державний екологічний університет*  
65015, Одеса, вул. Львівська, 15

---